

Starkniederschlagshöhen und -spenden gemäß KOSTRA-DWD-2010R

Auswertungszeitraum von 1951 - 2010, Januar - Dezember

Rasterfeld: 79007

Zeile: 79

Spalte: 7

Seite: 1/2

| Dauerstufe D | Wiederkehrzeit T | | | | | | | | | | | | | | | | | | |
|--------------|------------------|------|------------|------|------------|------|------------|------|------------|------|------------|------|------------|------|------------|-------|------------|-------|------------|
| | 1 a | | 2 a | | 3 a | | 5 a | | 10 a | | 20 a | | 30 a | | 50 a | | 100 a | | |
| min | Std | mm | l / (s ha) | mm | l / (s ha) | mm | l / (s ha) | mm | l / (s ha) | mm | l / (s ha) | mm | l / (s ha) | mm | l / (s ha) | mm | l / (s ha) | mm | l / (s ha) |
| 5 | | 4,7 | 156,7 | 6,1 | 203,3 | 7,0 | 233,3 | 8,0 | 266,7 | 9,5 | 316,7 | 10,9 | 363,3 | 11,8 | 393,3 | 12,9 | 430,0 | 14,3 | 476,7 |
| 10 | | 7,5 | 125,0 | 9,6 | 160,0 | 10,8 | 180,0 | 12,3 | 205,0 | 14,3 | 238,3 | 16,4 | 273,3 | 17,6 | 293,3 | 19,1 | 318,3 | 21,2 | 353,3 |
| 15 | | 9,4 | 104,4 | 11,9 | 132,2 | 13,4 | 148,9 | 15,3 | 170,0 | 17,8 | 197,8 | 20,3 | 225,6 | 21,8 | 242,2 | 23,7 | 263,3 | 26,2 | 291,1 |
| 20 | | 10,8 | 90,0 | 13,7 | 114,2 | 15,4 | 128,3 | 17,6 | 146,7 | 20,5 | 170,8 | 23,4 | 195,0 | 25,1 | 209,2 | 27,3 | 227,5 | 30,2 | 251,7 |
| 30 | | 12,6 | 70,0 | 16,2 | 90,0 | 18,3 | 101,7 | 20,9 | 116,1 | 24,5 | 136,1 | 28,1 | 156,1 | 30,2 | 167,8 | 32,8 | 182,2 | 36,4 | 202,2 |
| 45 | | 14,2 | 52,6 | 18,6 | 68,9 | 21,2 | 78,5 | 24,4 | 90,4 | 28,8 | 106,7 | 33,2 | 123,0 | 35,8 | 132,6 | 39,1 | 144,8 | 43,5 | 161,1 |
| 60 | | 15,2 | 42,2 | 20,3 | 56,4 | 23,3 | 64,7 | 27,0 | 75,0 | 32,1 | 89,2 | 37,2 | 103,3 | 40,2 | 111,7 | 43,9 | 121,9 | 49,0 | 136,1 |
| 90 | | 17,0 | 31,5 | 22,2 | 41,1 | 25,3 | 46,9 | 29,2 | 54,1 | 34,4 | 63,7 | 39,6 | 73,3 | 42,7 | 79,1 | 46,6 | 86,3 | 51,8 | 95,9 |
| 120 | 2 | 18,4 | 25,6 | 23,8 | 33,1 | 26,9 | 37,4 | 30,8 | 42,8 | 36,2 | 50,3 | 41,5 | 57,6 | 44,6 | 61,9 | 48,6 | 67,5 | 53,9 | 74,9 |
| 180 | 3 | 20,6 | 19,1 | 26,1 | 24,2 | 29,3 | 27,1 | 33,4 | 30,9 | 38,9 | 36,0 | 44,4 | 41,1 | 47,6 | 44,1 | 51,6 | 47,8 | 57,2 | 53,0 |
| 240 | 4 | 22,3 | 15,5 | 27,9 | 19,4 | 31,2 | 21,7 | 35,3 | 24,5 | 41,0 | 28,5 | 46,6 | 32,4 | 49,9 | 34,7 | 54,0 | 37,5 | 59,6 | 41,4 |
| 360 | 6 | 24,9 | 11,5 | 30,7 | 14,2 | 34,1 | 15,8 | 38,4 | 17,8 | 44,2 | 20,5 | 49,9 | 23,1 | 53,3 | 24,7 | 57,6 | 26,7 | 63,4 | 29,4 |
| 540 | 9 | 27,9 | 8,6 | 33,9 | 10,5 | 37,3 | 11,5 | 41,7 | 12,9 | 47,7 | 14,7 | 53,6 | 16,5 | 57,1 | 17,6 | 61,5 | 19,0 | 67,4 | 20,8 |
| 720 | 12 | 30,2 | 7,0 | 36,3 | 8,4 | 39,8 | 9,2 | 44,3 | 10,3 | 50,4 | 11,7 | 56,5 | 13,1 | 60,0 | 13,9 | 64,5 | 14,9 | 70,6 | 16,3 |
| 1080 | 18 | 33,8 | 5,2 | 40,1 | 6,2 | 43,7 | 6,7 | 48,3 | 7,5 | 54,6 | 8,4 | 60,8 | 9,4 | 64,5 | 10,0 | 69,1 | 10,7 | 75,3 | 11,6 |
| 1440 | 24 | 36,6 | 4,2 | 43,0 | 5,0 | 46,7 | 5,4 | 51,4 | 5,9 | 57,8 | 6,7 | 64,2 | 7,4 | 67,9 | 7,9 | 72,6 | 8,4 | 79,0 | 9,1 |
| 2880 | 48 | 45,2 | 2,6 | 53,2 | 3,1 | 57,8 | 3,3 | 63,7 | 3,7 | 71,7 | 4,1 | 79,6 | 4,6 | 84,3 | 4,9 | 90,1 | 5,2 | 98,1 | 5,7 |
| 4320 | 72 | 51,2 | 2,0 | 60,1 | 2,3 | 65,3 | 2,5 | 71,8 | 2,8 | 80,7 | 3,1 | 89,6 | 3,5 | 94,8 | 3,7 | 101,3 | 3,9 | 110,2 | 4,3 |

Angaben in mm: Bemessungsniederschlagswerte h(n)

Angaben in l / (s ha): Regenspende R(n) mit $R(n) = h(n) \times 1,666667 / D[\text{min}]$

Toleranzbereiche:

+/- 10 % für $1 \text{ a} \leq T \leq 5 \text{ a}$

+/- 15 % für $5 \text{ a} < T \leq 50 \text{ a}$

+/- 20 % für $50 \text{ a} < T \leq 100 \text{ a}$

Datenbasis: KOSTRA-DWD-2010R des Deutschen Wetterdienstes. Die Regenspende wurde auf Basis des Bemessungsniederschlags zur jeweiligen Andauer berechnet.

Für die Richtigkeit und Aktualität der Angaben wird keine Gewähr übernommen. Erstellt 07/2022.

Starkniederschlagshöhen und -spenden gemäß KOSTRA-DWD-2010R

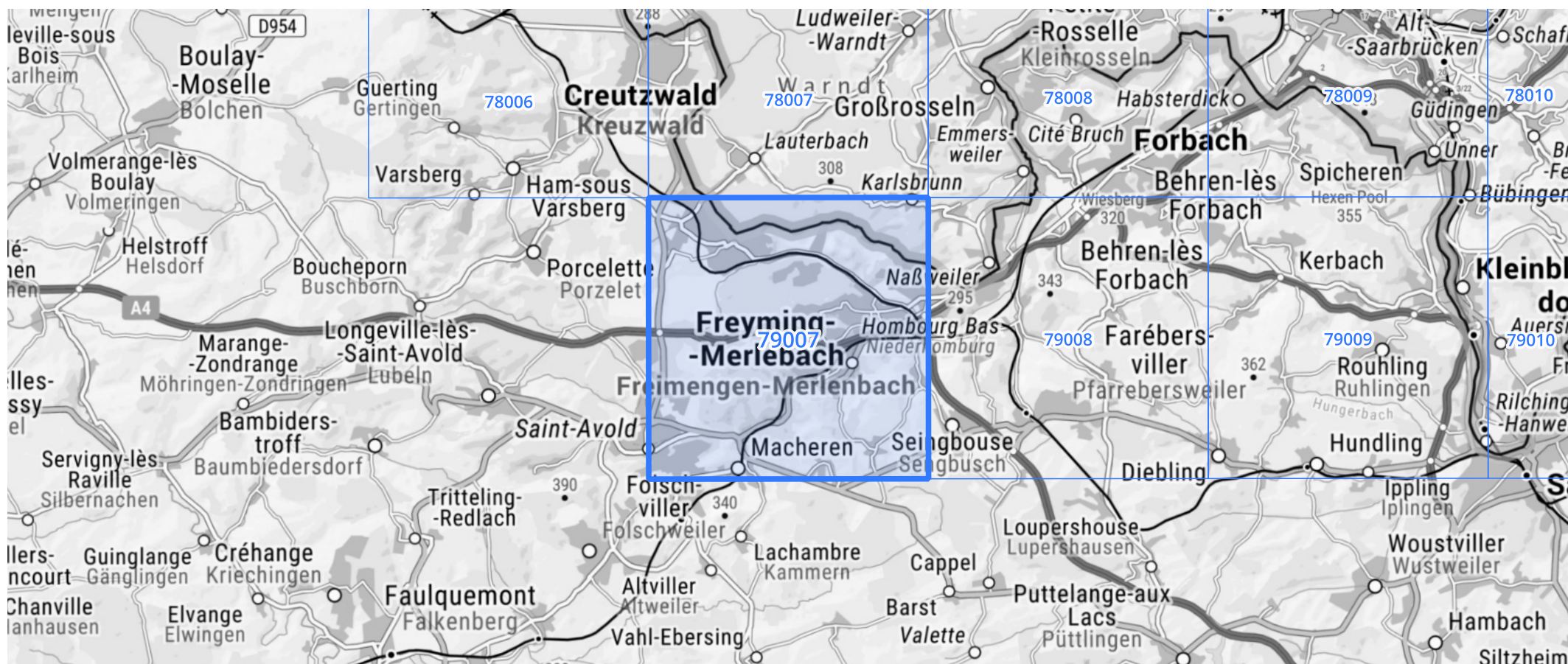
Auswertungszeitraum von 1951 - 2010, Januar - Dezember

Rasterfeld: 79007

Zeile: 79

Spalte: 7

Seite: 2/2



Quelle Rasterdaten: KOSTRA-DWD-2010R des Deutschen Wetterdienstes.

Kartendarstellung: © Bundesamt für Kartographie und Geodäsie (2022), Datenquellen: https://sgx.geodatenzentrum.de/web_public/gdz/datenquellen/Datenquellen_TopPlusOpen.html

Für die Richtigkeit und Aktualität der Angaben wird keine Gewähr übernommen. Erstellt 07/2022.